



# Großwetterlage

Februar 2015

erstellt durch die Vorhersage- und Beratungszentrale, Offenbach  
Ausgabe: 03.12.2015

## Zonale Zirkulation

|                    | Nr. | GW<br>zählt<br>als | Jan.      | Feb.     | W         | März     | April    | Mai      | F        | Juni     | Juli     | Aug.     | S        | Sept.    | Okt.     | Nov.     | H        | Dez.     | Jahr      |   |   |   |   |
|--------------------|-----|--------------------|-----------|----------|-----------|----------|----------|----------|----------|----------|----------|----------|----------|----------|----------|----------|----------|----------|-----------|---|---|---|---|
| Wa                 | 1   | a                  | 3         | -        |           | -        | -        | -        |          | -        | -        | -        |          | -        | -        | -        |          | -        |           |   |   |   |   |
| Wz                 | 2   | z                  | 8         | -        |           | -        | -        | -        |          | -        | -        | -        |          | -        | -        | -        |          | -        |           | - | - | - | - |
| Ws                 | 3   | z                  | -         | -        |           | -        | -        | -        |          | -        | -        | -        |          | -        | -        | -        |          | -        |           | - | - | - | - |
| Ww                 | 4   | z                  | -         | -        |           | -        | -        | -        |          | -        | -        | -        |          | -        | -        | -        |          | -        |           | - | - | - | - |
| <b>W (GT)</b>      |     |                    | <b>11</b> | <b>0</b> | <b>11</b> | <b>0</b> | <b>0</b> | <b>0</b> | <b>0</b> | <b>0</b> | <b>0</b> | <b>0</b> | <b>0</b> | <b>0</b> | <b>0</b> | <b>0</b> | <b>0</b> | <b>0</b> | <b>11</b> |   |   |   |   |
| zonale Zirkulation |     |                    | 11        | 0        | 11        | 0        | 0        | 0        | 0        | 0        | 0        | 0        | 0        | 0        | 0        | 0        | 0        | 0        | 11        |   |   |   |   |

## Gemischte Zirkulation

|                       | Nr. | GW<br>zählt<br>als | Jan.     | Feb.     | W        | März     | April    | Mai      | F        | Juni     | Juli     | Aug.     | S        | Sept.    | Okt.     | Nov.     | H        | Dez.     | Jahr     |
|-----------------------|-----|--------------------|----------|----------|----------|----------|----------|----------|----------|----------|----------|----------|----------|----------|----------|----------|----------|----------|----------|
| SWa                   | 5   | H+a                | -        | -        |          | -        | -        | -        |          | -        | -        | -        |          | -        | -        | -        |          | -        |          |
| SWz                   | 6   | z                  | 3        | -        |          | -        | -        | -        |          | -        | -        | -        |          | -        | -        | -        |          | -        |          |
| <b>SW (GT)</b>        |     |                    | <b>3</b> | <b>0</b> | <b>3</b> | <b>0</b> | <b>0</b> | <b>0</b> | <b>0</b> | <b>0</b> | <b>0</b> | <b>0</b> | <b>0</b> | <b>0</b> | <b>0</b> | <b>0</b> | <b>0</b> | <b>0</b> | <b>3</b> |
| NWa                   | 7   | a                  | -        | 3        |          | -        | -        | -        |          | -        | -        | -        |          | -        | -        | -        |          | -        |          |
| NWz                   | 8   | z                  | 3        | -        |          | -        | -        | -        |          | -        | -        | -        |          | -        | -        | -        |          | -        |          |
| <b>NW (GT)</b>        |     |                    | <b>3</b> | <b>3</b> | <b>6</b> | <b>0</b> | <b>0</b> | <b>0</b> | <b>0</b> | <b>0</b> | <b>0</b> | <b>0</b> | <b>0</b> | <b>0</b> | <b>0</b> | <b>0</b> | <b>0</b> | <b>0</b> | <b>6</b> |
| HM                    | 9   | H+a                | 3        | 3        |          | -        | -        | -        |          | -        | -        | -        |          | -        | -        | -        |          | -        |          |
| BM                    | 10  | H+a                | -        | 3        |          | -        | -        | -        |          | -        | -        | -        |          | -        | -        | -        |          | -        |          |
| <b>HM (GT)</b>        |     |                    | <b>3</b> | <b>6</b> | <b>9</b> | <b>0</b> | <b>0</b> | <b>0</b> | <b>0</b> | <b>0</b> | <b>0</b> | <b>0</b> | <b>0</b> | <b>0</b> | <b>0</b> | <b>0</b> | <b>0</b> | <b>0</b> | <b>9</b> |
| <b>TM (GT)</b>        | 11  | T+z                | -        | -        | 0        | -        | -        | -        | 0        | -        | -        | -        | 0        | -        | -        | -        | 0        | -        | 0        |
| gemischte Zirkulation |     |                    | 9        | 9        | 18       | 0        | 0        | 0        | 0        | 0        | 0        | 0        | 0        | 0        | 0        | 0        | 0        | 0        | 18       |

## Meridiane Zirkulation

|                              | Nr. | GW<br>zählt<br>als | Jan.      | Feb.      | W         | März     | April    | Mai      | F        | Juni     | Juli     | Aug.     | S        | Sept.    | Okt.     | Nov.     | H        | Dez.     | Jahr      |          |          |          |          |
|------------------------------|-----|--------------------|-----------|-----------|-----------|----------|----------|----------|----------|----------|----------|----------|----------|----------|----------|----------|----------|----------|-----------|----------|----------|----------|----------|
| Na                           | 12  | a                  | -         | -         | 21        | -        | -        | -        | 0        | -        | -        | -        | 0        | -        | -        | -        | 0        | -        | 21        |          |          |          |          |
| Nz                           | 13  | z                  | -         | -         |           | -        | -        | -        |          | -        | -        | -        |          | -        | -        | -        |          | -        |           | -        | -        | -        | -        |
| HNa                          | 14  | a                  | -         | -         |           | -        | -        | -        |          | -        | -        | -        |          | -        | -        | -        |          | -        |           | -        | -        | -        | -        |
| HNz                          | 15  | T+z                | -         | -         |           | -        | -        | -        |          | -        | -        | -        |          | -        | -        | -        |          | -        |           | -        | -        | -        | -        |
| HB                           | 16  | a                  | -         | -         |           | -        | -        | -        |          | -        | -        | -        |          | -        | -        | -        |          | -        |           | -        | -        | -        | -        |
| TrM                          | 17  | T+z                | 11        | 10        |           | -        | -        | -        |          | -        | -        | -        |          | -        | -        | -        |          | -        |           | -        | -        | -        | -        |
| <b>N (GT)</b>                |     |                    | <b>11</b> | <b>10</b> |           |          | <b>0</b> | <b>0</b> |          | <b>0</b> | <b>0</b> | <b>0</b> |          | <b>0</b> | <b>0</b> | <b>0</b> |          | <b>0</b> |           | <b>0</b> | <b>0</b> | <b>0</b> | <b>0</b> |
| NEa                          | 18  | H+a                | -         | -         | 3         | -        | -        | -        | 0        | -        | -        | -        | 0        | -        | -        | -        | 0        | -        | 3         |          |          |          |          |
| NEz                          | 19  | T+z                | -         | 3         |           | -        | -        | -        |          | -        | -        | -        |          | -        | -        | -        |          | -        |           | -        | -        | -        | -        |
| HFa                          | 20  | H+a                | -         | -         |           | -        | -        | -        |          | -        | -        | -        |          | -        | -        | -        |          | -        |           | -        | -        | -        | -        |
| HFz                          | 21  | T+z                | -         | -         |           | -        | -        | -        |          | -        | -        | -        |          | -        | -        | -        |          | -        |           | -        | -        | -        | -        |
| HNFa                         | 22  | H+a                | -         | -         |           | -        | -        | -        |          | -        | -        | -        |          | -        | -        | -        |          | -        |           | -        | -        | -        | -        |
| HNFz                         | 23  | T+z                | -         | -         |           | -        | -        | -        |          | -        | -        | -        |          | -        | -        | -        |          | -        |           | -        | -        | -        | -        |
| SEa                          | 24  | H+a                | -         | -         |           | -        | -        | -        |          | -        | -        | -        |          | -        | -        | -        |          | -        |           | -        | -        | -        | -        |
| SEz                          | 25  | T+z                | -         | -         |           | -        | -        | -        |          | -        | -        | -        |          | -        | -        | -        |          | -        |           | -        | -        | -        | -        |
| <b>E (GT)</b>                |     |                    | <b>0</b>  | <b>3</b>  |           | <b>0</b> | <b>0</b> | <b>0</b> | <b>0</b> | <b>0</b> | <b>0</b> | <b>0</b> | <b>0</b> | <b>0</b> | <b>0</b> | <b>0</b> | <b>0</b> | <b>0</b> | <b>3</b>  |          |          |          |          |
| Sa                           | 26  | H+a                | -         | 3         | 6         | -        | -        | -        | 0        | -        | -        | -        | 0        | -        | -        | -        | 0        | -        | 6         |          |          |          |          |
| Sz                           | 27  | z                  | -         | -         |           | -        | -        | -        |          | -        | -        | -        |          | -        | -        | -        |          | -        |           | -        | -        | -        | -        |
| TB                           | 28  | z                  | -         | -         |           | -        | -        | -        |          | -        | -        | -        |          | -        | -        | -        |          | -        |           | -        | -        | -        | -        |
| TrW                          | 29  | z                  | -         | 3         |           | -        | -        | -        |          | -        | -        | -        |          | -        | -        | -        |          | -        |           | -        | -        | -        | -        |
| <b>S (GT)</b>                |     |                    | <b>0</b>  | <b>6</b>  |           |          | <b>0</b> | <b>0</b> |          | <b>0</b> | <b>0</b> | <b>0</b> |          | <b>0</b> | <b>0</b> | <b>0</b> |          | <b>0</b> |           | <b>0</b> | <b>0</b> | <b>0</b> | <b>0</b> |
| <b>meridiane Zirkulation</b> |     |                    | <b>11</b> | <b>19</b> | <b>30</b> | <b>0</b> | <b>0</b> | <b>0</b> | <b>0</b> | <b>0</b> | <b>0</b> | <b>0</b> | <b>0</b> | <b>0</b> | <b>0</b> | <b>0</b> | <b>0</b> | <b>0</b> | <b>30</b> |          |          |          |          |

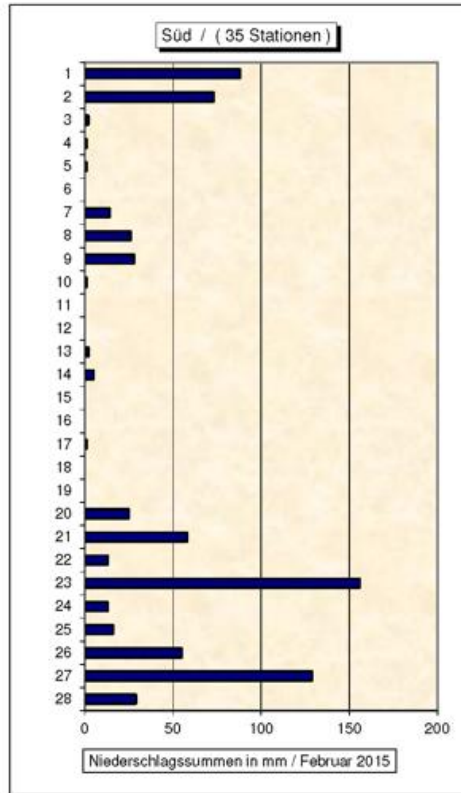
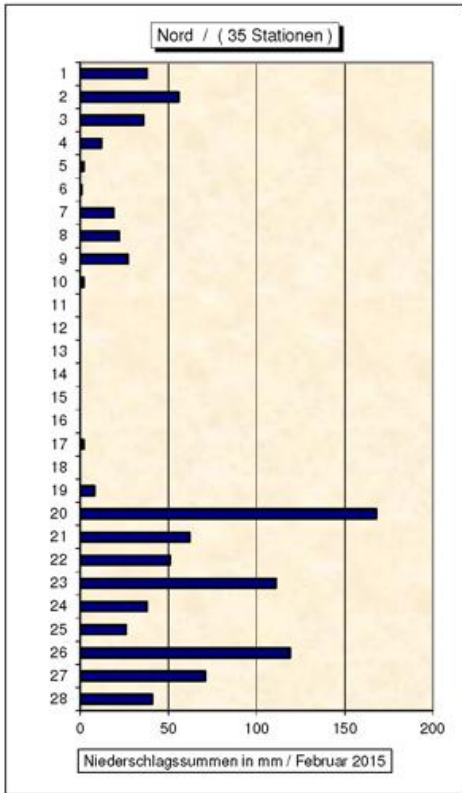
## Summe

|                            | Nr. | GW<br>zählt<br>als | Jan. | Feb. | W  | März | April | Mai | F | Juni | Juli | Aug. | S | Sept. | Okt. | Nov. | H | Dez. | Jahr |
|----------------------------|-----|--------------------|------|------|----|------|-------|-----|---|------|------|------|---|-------|------|------|---|------|------|
| Übergangs -<br>lage (Tage) |     |                    | -    | -    | 0  | -    | -     | -   | 0 | -    | -    | -    | 0 | -     | -    | -    | 0 | -    | 0    |
| Σ a                        |     |                    | 6    | 12   | 18 | 0    | 0     | 0   | 0 | 0    | 0    | 0    | 0 | 0     | 0    | 0    | 0 | 0    | 18   |
| Σ z                        |     |                    | 25   | 16   | 41 | 0    | 0     | 0   | 0 | 0    | 0    | 0    | 0 | 0     | 0    | 0    | 0 | 0    | 41   |
| Σ H                        |     |                    | 3    | 9    | 12 | 0    | 0     | 0   | 0 | 0    | 0    | 0    | 0 | 0     | 0    | 0    | 0 | 0    | 12   |
| Σ T                        |     |                    | 11   | 13   | 24 | 0    | 0     | 0   | 0 | 0    | 0    | 0    | 0 | 0     | 0    | 0    | 0 | 0    | 24   |

| GWL 2015                    | GWL nach Hess & Brezowsky | Kurzbeschreibung  |
|-----------------------------|---------------------------|---|
| Sonntag, den 01. Februar    | TrM                       | Ein Trog mit gealterter Polarluft überdeckt ganz Europa. Über dem Nordostatlantik dominiert ein zeitweilig gestörtes, am Ende nordwärts verlagertes Azorenhoch. In Mitteleuropa herrscht Tiefdruckeinfluss mit schwachen Störungen. Schließlich induziert auf der Trogrückseite südwärts voran kommende Kaltluft eine Zyklonogenese über dem westlichen Mittelmeerraum.   |
| Montag, den 02. Februar     | TrM                       |   |
| Dienstag, den 03. Februar   | TrM                       |   |
| Mittwoch, den 04. Februar   | TrM                       |   |
| Donnerstag, den 05. Februar | NEz                       | Der nordatlantische Rücken neigt sich ostwärts. Während sich im Bodenniveau das Tief über dem zentralen Mittelmeerraum allmählich auffüllt, bildet sich zwischen dem Seegebiet weit westlich der Britischen Inseln und dem östlichen Mitteleuropa eine Hochdruckbrücke.   |
| Freitag, den 06. Februar    | NEz                       |   |
| Samstag, den 07. Februar    | NEz                       |   |
| Sonntag, den 08. Februar    | NWa                       | Während die warme und hoch reichende Hochdruckzelle westlich der Britischen Inseln fortbesteht, bewirkt ein Kaltluftausbruch aus der Region um Grönland und Spitzbergen über Osteuropa Geopotentialabbau. Schwache Tiefausläufer aus Nordwest passieren Mitteleuropa.   |
| Montag, den 09. Februar     | NWa                       |   |
| Dienstag, den 10. Februar   | NWa                       |   |
| Mittwoch, den 11. Februar   | HM                        | Der westeuropäische Hochdruckrücken wandert ostwärts, Mitteleuropa bleibt bei insgesamt schwachen Luftdruckgegensätzen ungestört. Später formiert sich über Westeuropa ein Trog, über Südosteuropa dagegen etabliert sich im Bodenniveau ein kräftiges Hochdruckgebiet.   |
| Donnerstag, den 12. Februar | HM                        |   |
| Freitag, den 13. Februar    | HM                        |   |
| Samstag, den 14. Februar    | Sa                        | Aus dem westeuropäischen Trog hat sich ein Cut-Off-Tief entwickelt, welches von den Britischen Inseln über Frankreich hinweg zum Tyrrhenischen Meer zieht. Über Nord- und Osteuropa liegt hoher Druck, so dass sich in Mitteleuropa eine südliche Strömung einstellt.   |
| Sonntag, den 15. Februar    | Sa                        |   |
| Montag, den 16. Februar     | Sa                        |   |
| Dienstag, den 17. Februar   | BM                        | Das Azorenhoch rückt näher an Europa heran und bildet mit dem osteuropäischen Hoch eine Brücke, deren Achse bei etwa 50° n. Br. liegt. In der mittleren Atmosphäre induziert die stark mäandrierende Frontalzone schwache Tiefausläufer, die über Mitteleuropa hinweg ziehen.   |
| Mittwoch, den 18. Februar   | BM                        |   |
| Donnerstag, den 19. Februar | BM                        |   |
| Freitag, den 20. Februar    | TrW                       | Ein südwärts gerichteter Kaltluftvorstoß aus der Region um das Europäische Nordmeer trägt den Geopotentialsattel über Westeuropa ab und formt stattdessen einen bis weit in den Maghreb reichenden Trog. Mitteleuropa erfährt eher schwache zyklonogenetische Prozesse.   |
| Samstag, den 21. Februar    | TrW                       |   |
| Sonntag, den 22. Februar    | TrW                       |   |
| Montag, den 23. Februar     | TrM                       | Der westeuropäische Trog schwenkt nach Mitteleuropa, wobei sich der Südteil zeitweilig abschnürt und zum östlichen Mittelmeerraum davon drifft. Währenddessen sorgt auf der Trogrückseite nachströmende subpolare Luft für seine Regeneration, so dass sich die Trogachse erneut in Nord-Süd-Richtung orientiert und sich die Amplitude wieder erhöht. Am Boden verharrt Mitteleuropa unter schwachem Tiefdruckeinfluss. Schließlich wandert der mächtige Trog langsam ostwärts und über Westeuropa steigen Luftdruck und Geopotential. |
| Dienstag, den 24. Februar   | TrM                       |   |
| Mittwoch, den 25. Februar   | TrM                       |   |
| Donnerstag, den 26. Februar | TrM                       |   |
| Freitag, den 27. Februar    | TrM                       |   |
| Samstag, den 28. Februar    | TrM                       |   |
|                             |                           |   |

| Legende zur Großwetterlagen-Tabelle |             |  |                |
|-------------------------------------|-------------|--|----------------|
| Nummer                              | Abkürzung   | Großwetterlage   | Farbe          |
| 1                                   | <b>Wa</b>   | Westlage, Mitteleuropa überwiegend antizyklonal                    | Hellgrün       |
| 2                                   | <b>Wz</b>   | Westlage, Mitteleuropa überwiegend zyklonal                        | Grelles Grün   |
| 3                                   | <b>WS</b>   | Südliche Westlage  | Meeresgrün     |
| 4                                   | <b>WW</b>   | Winkelförmige Westlage   | Grün           |
| 5                                   | <b>SWa</b>  | Südwestlage, Mitteleuropa überwiegend antizyklonal                 | Hellorange     |
| 6                                   | <b>SWz</b>  | Südwestlage, Mitteleuropa überwiegend zyklonal                     | Orange         |
| 7                                   | <b>NWa</b>  | Nordwestlage, Mitteleuropa überwiegend antizyklonal                | Türkis         |
| 8                                   | <b>NWz</b>  | Nordwestlage, Mitteleuropa überwiegend zyklonal                    | Blaugrün       |
| 9                                   | <b>HM</b>   | Hoch Mitteleuropa  | Weiß           |
| 10                                  | <b>BM</b>   | Hochdruckbrücke Mitteleuropa                                       | Hellgrau 25%   |
| 11                                  | <b>TM</b>   | Tief Mitteleuropa  | Grau 50%       |
| 12                                  | <b>Na</b>   | Nordlage, Mitteleuropa überwiegend antizyklonal                    | Blassblau      |
| 13                                  | <b>Nz</b>   | Nordlage, Mitteleuropa überwiegend zyklonal                        | Blau           |
| 14                                  | <b>HNa</b>  | Hoch Nordmeer-Inland, Mitteleuropa überwiegend antizyklonal        | Himmelblau     |
| 15                                  | <b>HNz</b>  | Hoch Nordmeer-Inland, Mitteleuropa überwiegend zyklonal            | Blaugrau       |
| 16                                  | <b>HB</b>   | Hoch Britische Inseln  | Helltürkis     |
| 17                                  | <b>TrM</b>  | Trog Mitteleuropa  | Dunkelgrau 80% |
| 18                                  | <b>NEa</b>  | Nordostlage, Mitteleuropa überwiegend antizyklonal                 | Lavendel       |
| 19                                  | <b>NEz</b>  | Nordostlage, Mitteleuropa überwiegend zyklonal                     | Pflaume        |
| 20                                  | <b>HFa</b>  | Hoch Fennoskandien, Mitteleuropa überwiegend antizyklonal          | Hellrosa       |
| 21                                  | <b>HFz</b>  | Hoch Fennoskandien, Mitteleuropa überwiegend zyklonal              | Rosa           |
| 22                                  | <b>HNFa</b> | Hoch Nordmeer-Fennoskandien, Mitteleuropa überwiegend antizyklonal | Hellgelb       |
| 23                                  | <b>HNfz</b> | Hoch Nordmeer-Fennoskandien, Mitteleuropa überwiegend zyklonal     | Dunkelgelb     |
| 24                                  | <b>SEa</b>  | Südostlage, Mitteleuropa überwiegend antizyklonal                  | Gelb           |
| 25                                  | <b>SEz</b>  | Südostlage, Mitteleuropa überwiegend zyklonal                      | Gold           |
| 26                                  | <b>Sa</b>   | Südlage, Mitteleuropa überwiegend antizyklonal                     | Gelbbraun      |
| 27                                  | <b>Sz</b>   | Südlage, Mitteleuropa überwiegend zyklonal                         | Rot            |
| 28                                  | <b>TB</b>   | Tief Britische Inseln  | Braun          |
| 29                                  | <b>TrW</b>  | Trog Westeuropa  | Dunkelrot      |
| 30                                  | <b>Ü</b>    | Übergangslage / Unbestimmt   | Grau 40%       |

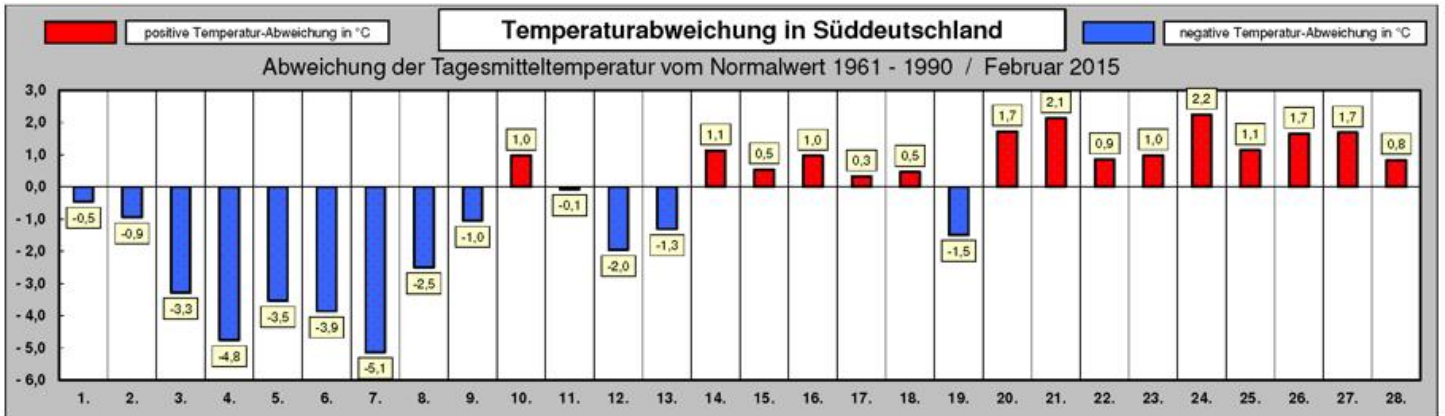
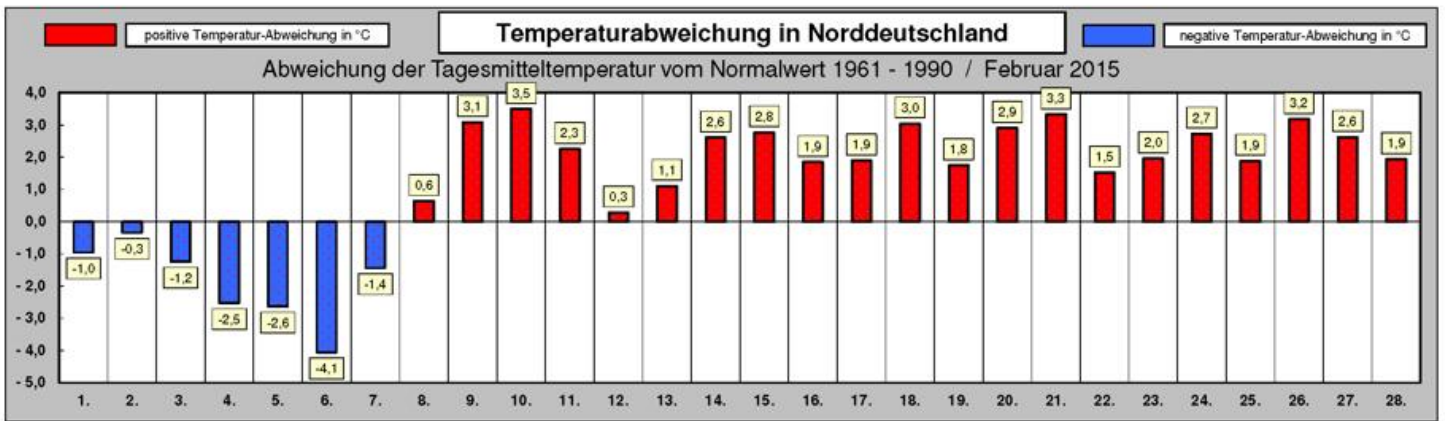




| Tag | Nord | Süd |
|-----|------|-----|
| 1.  | 26   | 32  |
| 2.  | 30   | 32  |
| 3.  | 31   | 6   |
| 4.  | 17   | 3   |
| 5.  | 6    | 6   |
| 6.  | 3    | 0   |
| 7.  | 26   | 30  |
| 8.  | 34   | 32  |
| 9.  | 24   | 26  |
| 10. | 11   | 7   |
| 11. | 0    | 2   |
| 12. | 0    | 1   |
| 13. | 0    | 3   |
| 14. | 0    | 7   |
| 15. | 0    | 1   |
| 16. | 0    | 1   |
| 17. | 6    | 3   |
| 18. | 0    | 1   |
| 19. | 9    | 1   |
| 20. | 28   | 13  |
| 21. | 28   | 27  |
| 22. | 22   | 18  |
| 23. | 35   | 34  |
| 24. | 19   | 16  |
| 25. | 17   | 18  |
| 26. | 21   | 11  |
| 27. | 25   | 34  |
| 28. | 25   | 24  |

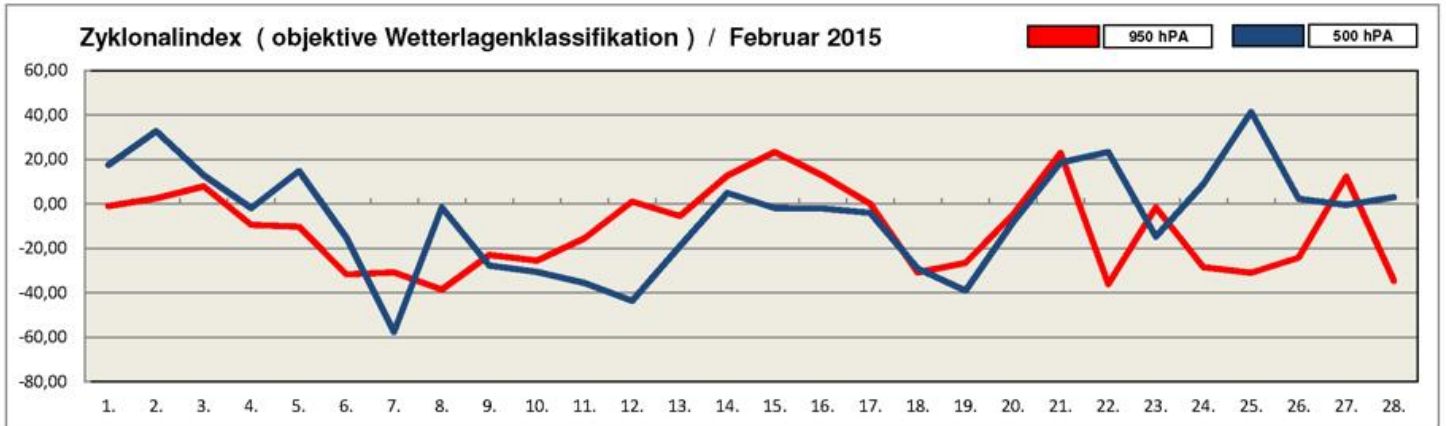
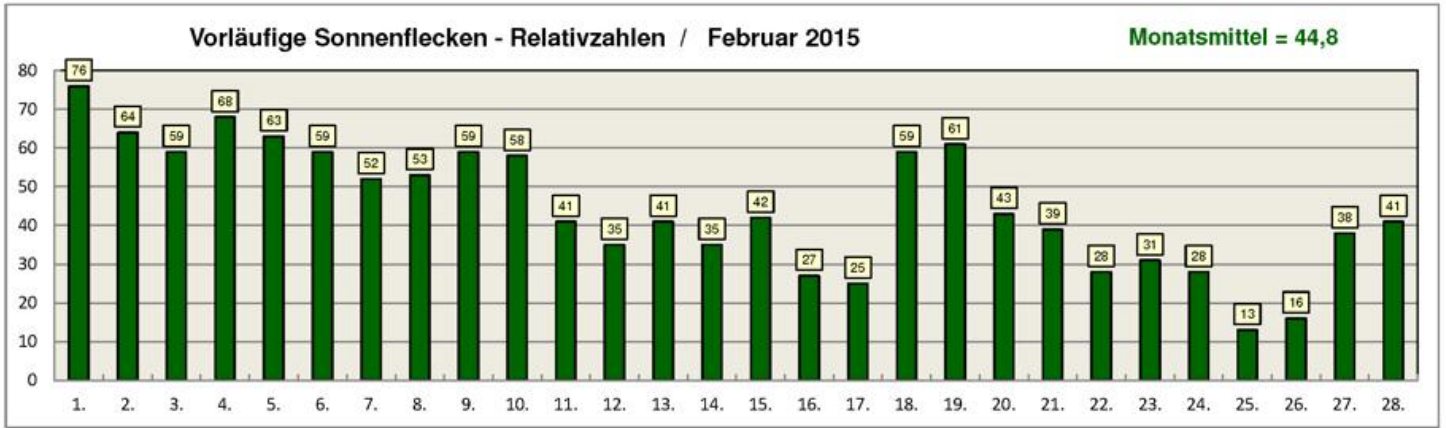
Anzahl der Stationen mit Niederschlag

# Temperaturabweichung in Deutschland





# Witterungsverlauf : Sonnenflecken und Zyklonalindex



| Stationen              | Temperatur | Abweichung | Niederschlag | Abweichung | Sonnenschein  | Abweichung | Luftdruck  | Abweichung |
|------------------------|------------|------------|--------------|------------|---------------|------------|------------|------------|
| 10035 Schleswig        | 1,8 °C     | + 1,2 °C   | 34,5 mm      | 68,6 %     | 55,3 Stunden  | 82,3 %     | 1014,9 hPA | - 0,3 hPA  |
| 10113 Norderney        | 3,6 °C     | + 1,8 °C   | 38,8 mm      | 95,3 %     | 101,3 Stunden | 132,8 %    | 1015,3 hPA | + 0,4 hPA  |
| 10147 Hamburg          | 2,3 °C     | + 1,2 °C   | 26,6 mm      | 64,4 %     | 66,2 Stunden  | 98,8 %     | 1015,6 hPA | + 0,0 hPA  |
| 10170 Rostock          | 2,2 °C     | + 1,5 °C   | 16,6 mm      | 55,9 %     | 80,6 Stunden  | 126,3 %    | 1015,1 hPA | - 0,3 hPA  |
| 10338 Hannover         | 2,3 °C     | + 1,2 °C   | 16,9 mm      | 45,4 %     | 79,4 Stunden  | 119,0 %    | 1016,5 hPA | + 0,4 hPA  |
| 10379 Potsdam          | 1,5 °C     | + 1,3 °C   | 13,0 mm      | 34,9 %     | 116,9 Stunden | 158,6 %    | 1016,7 hPA | + 0,9 hPA  |
| 10410 Essen            | 2,6 °C     | + 0,1 °C   | 51,9 mm      | 91,7 %     | 88,6 Stunden  | 116,3 %    | 1016,9 hPA | + 1,0 hPA  |
| 10438 Kassel           | 0,7 °C     | - 0,1 °C   | 30,6 mm      | 66,2 %     | 84,2 Stunden  | 116,5 %    | 1017,7 hPA | + 1,2 hPA  |
| 10453 Brocken          | -2,8 °C    | + 1,4 °C   | 50,7 mm      | 36,4 %     | 121,7 Stunden | 158,9 %    | 1017,1 hPA | + 0,7 hPA  |
| 10469 Leipzig          | 1,5 °C     | + 0,8 °C   | 8,0 mm       | 23,1 %     | 113,7 Stunden | 171,8 %    | 1017,5 hPA | + 0,9 hPA  |
| 10496 Cottbus          | 1,8 °C     | + 1,5 °C   | 7,2 mm       | 24,4 %     | 127,7 Stunden | 176,9 %    | 1017,1 hPA | + 0,6 hPA  |
| 10567 Gera             | 0,6 °C     | + 1,1 °C   | 4,9 mm       | 14,0 %     | 118,5 Stunden | 149,2 %    | 1017,7 hPA | + 0,5 hPA  |
| 10609 Trier            | 1,8 °C     | - 0,1 °C   | 35,6 mm      | 64,8 %     | 63,0 Stunden  | 81,9 %     | 1018,0 hPA | + 1,0 hPA  |
| 10637 Frankfurt (Main) | 2,2 °C     | + 0,4 °C   | 20,9 mm      | 52,5 %     | 69,3 Stunden  | 92,5 %     | 1018,2 hPA | + 0,7 hPA  |
| 10739 Stuttgart        | 1,2 °C     | - 0,7 °C   | 14,1 mm      | 40,8 %     | 100,8 Stunden | 126,3 %    | 1018,4 hPA | + 1,4 hPA  |
| 10763 Nürnberg         | 0,2 °C     | - 0,3 °C   | 8,5 mm       | 21,7 %     | 69,2 Stunden  | 83,9 %     | 1018,7 hPA | + 1,5 hPA  |
| 10803 Freiburg         | 1,7 °C     | - 0,4 °C   | 45,9 mm      | 90,7 %     | 100,6 Stunden | 150,6 %    | 1018,3 hPA | + 0,9 hPA  |
| 10870 München          | -1,5 °C    | - 1,1 °C   | 10,6 mm      | 25,0 %     | 65,8 Stunden  | 85,5 %     | 1019,2 hPA | + 1,5 hPA  |
| 10895 Passau           | -0,6 °C    | + 0,2 °C   | 12,7 mm      | 21,9 %     | 113,7 Stunden | 121,6 %    | 1018,6 hPA | + 0,1 hPA  |
| 10961 Zugspitze        | -10,8 °C   | + 0,6 °C   | 78,6 mm      | 51,2 %     | 170,3 Stunden | 128,9 %    | 1019,1 hPA | + 1,1 hPA  |

\* Bei allen Abweichungswerten wird der aktuelle Monatsmittelwert dem 30-jährigen Mittelwert (climat-Wert) aus dem Zeitraum 1961 bis 1990 gegenüber gestellt !

| Stationen              | Temperatur | Abweichung | Niederschlag | Abweichung | Sonnenschein  | Abweichung | Luftdruck  | Abweichung |
|------------------------|------------|------------|--------------|------------|---------------|------------|------------|------------|
| 01026 Tromsö           | -1,8 °C    | + 1,9 °C   | 128,0 mm     | 148,8 %    | 17,0 Stunden  | 53,1 %     | 996,5 hPA  | - 10,2 hPA |
| 02935 Jvaskylä         | -2,1 °C    | + 7,4 °C   | 31,0 mm      | 103,3 %    | 35,0 Stunden  | 50,3 %     | 1008,1 hPA | - 6,0 hPA  |
| 03005 Lerwick          | 4,6 °C     | + 1,5 °C   | 127,0 mm     | 136,6 %    | 41,0 Stunden  | 77,4 %     | 1005,7 hPA | - 4,5 hPA  |
| 03091 Aberdeen         | 4,3 °C     | + 1,4 °C   | 25,0 mm      | 49,0 %     | 99,0 Stunden  | 135,6 %    | 1010,3 hPA | - 1,7 hPA  |
| 03772 London           | 5,0 °C     | + 0,5 °C   | 39,0 mm      | 111,4 %    | 62,0 Stunden  | 92,5 %     | 1016,8 hPA | + 1,3 hPA  |
| 04030 Reykjavik        | -0,1 °C    | - 0,5 °C   | 93,0 mm      | 129,5 %    | 34,0 Stunden  | 65,6 %     | 994,9 hPA  | - 7,7 hPA  |
| 06260 De Bilt          | 3,5 °C     | + 1,0 °C   | 61,0 mm      | 124,5 %    | 113,0 Stunden | 146,8 %    | 1016,4 hPA | + 1,2 hPA  |
| 06447 Brüssel          | 3,3 °C     | - 0,2 °C   | 58,0 mm      | 109,4 %    | 80,0 Stunden  | 103,2 %    | 1016,9 hPA | + 1,3 hPA  |
| 06590 Luxemburg        | 1,0 °C     | - 0,1 °C   | 45,0 mm      | 72,6 %     | 64,0 Stunden  | 78,8 %     | 1017,9 hPA | + 1,4 hPA  |
| 06700 Genf             | 1,7 °C     | - 0,6 °C   | 52,0 mm      | 64,2 %     | 82,0 Stunden  | 107,9 %    | 1017,9 hPA | + 0,2 hPA  |
| 06770 Lugano           | 4,9 °C     | + 1,0 °C   | 117,0 mm     | 164,8 %    | 119,0 Stunden | 96,7 %     | 1015,5 hPA | - 1,4 hPA  |
| 07149 Paris            | 3,8 °C     | - 0,6 °C   | 49,0 mm      | 108,9 %    | 93,0 Stunden  | 105,7 %    | 1017,8 hPA | - 0,2 hPA  |
| 07222 Nantes           | 5,2 °C     | - 1,0 °C   | 77,0 mm      | 110,0 %    | 120,0 Stunden | 121,2 %    | 1018,7 hPA | + 0,8 hPA  |
| 07690 Nizza            | 9,2 °C     | - 0,1 °C   | 98,0 mm      | 128,9 %    | 149,0 Stunden | 98,0 %     | 1012,3 hPA | - 4,1 hPA  |
| 08221 Madrid           | 6,8 °C     | - 0,2 °C   | 19,0 mm      | 43,2 %     | 155,0 Stunden | 100,0 %    | 1019,8 hPA | + 0,4 hPA  |
| 08509 Azoren ( Lajes ) | 14,6 °C    | + 1,2 °C   | 30,0 mm      | 18,1 %     | 97,0 Stunden  | 89,0 %     | 1028,7 hPA | + 11,4 hPA |
| 08535 Lissabon         | 11,2 °C    | - 1,1 °C   | 15,0 mm      | 13,5 %     | 176,0 Stunden | 116,6 %    | 1022,7 hPA | + 1,4 hPA  |
| 11035 Wien             | 2,3 °C     | + 1,3 °C   | 37,0 mm      | 88,1 %     | 116,0 Stunden | 118,4 %    | 1017,7 hPA | + 0,2 hPA  |
| 11150 Salzburg         | -0,6 °C    | - 1,0 °C   | 25,0 mm      | 43,1 %     | 111,0 Stunden | 120,7 %    | 1018,6 hPA | + 0,3 hPA  |
| 11518 Prag             | 0,3 °C     | + 1,1 °C   | 2,0 mm       | 8,7 %      | 90,0 Stunden  | 112,5 %    | 1018,3 hPA | + 1,0 hPA  |
| 12205 Stettin          | 1,4 °C     | + 1,6 °C   | 4,0 mm       | 14,3 %     | 111,0 Stunden | 188,1 %    | 1016,2 hPA | + 0,3 hPA  |
| 12375 Warschau         | 1,1 °C     | + 3,1 °C   | 6,0 mm       | 28,6 %     | 56,0 Stunden  | 72,7 %     | 1017,6 hPA | + 0,3 hPA  |
| 12843 Budapest         | 2,7 °C     | + 1,6 °C   | 28,0 mm      | 87,5 %     | 119,0 Stunden | 135,2 %    | 1017,7 hPA | + 0,4 hPA  |
| 13274 Belgrad          | 4,0 °C     | + 1,3 °C   | 52,0 mm      | 118,2 %    | 123,0 Stunden | 139,8 %    | 1016,6 hPA | - 1,2 hPA  |
| 15420 Bukarest         | 1,7 °C     | + 1,8 °C   | 36,0 mm      | 100,0 %    | 89,0 Stunden  | 105,3 %    | 1017,9 hPA | - 0,8 hPA  |
| 15614 Sofia            | 1,5 °C     | + 1,0 °C   | 52,0 mm      | 157,6 %    | 125,0 Stunden | 127,6 %    | 1016,9 hPA | - 2,1 hPA  |
| 16597 Malta ( Luqa )   | 12,0 °C    | - 0,4 °C   | 113,0 mm     | 185,2 %    | 153,0 Stunden | 89,5 %     | 1013,0 hPA | - 3,6 hPA  |
| 16714 Athen            | 9,7 °C     | - 0,1 °C   | 51,0 mm      | 106,3 %    | 122,0 Stunden | 87,8 %     | 1014,7 hPA | - 0,9 hPA  |
| 17116 Bursa            | 7,3 °C     | + 1,0 °C   | 93,0 mm      | 140,9 %    | 139,0 Stunden | 147,9 %    | 1016,0 hPA | - 1,6 hPA  |
| 22550 Archangelsk      | -5,9 °C    | + 6,3 °C   | 45,0 mm      | 173,1 %    | 40,0 Stunden  | 72,7 %     | 1006,5 hPA | - 6,1 hPA  |
| 27595 Kasan            | -6,5 °C    | + 4,9 °C   | 30,0 mm      | 111,1 %    | 76,0 Stunden  | 85,4 %     | 1019,2 hPA | - 2,9 hPA  |
| 34300 Charkow          | -2,5 °C    | + 3,2 °C   | 53,0 mm      | 165,6 %    | 89,0 Stunden  | 136,9 %    | 1019,3 hPA | - 0,2 hPA  |